

УДК: 577.151.01

## Стехиометрический анализ биохимических систем на графах. II. Графовые образы балансных соотношений

Ермаков Г.Л.\*

*Институт теоретической и экспериментальной биофизики, Российская академия наук, Пуцино, Московская область, 142290, Россия*

**Аннотация.** Рассмотрено применение графических правил нахождения балансных соотношений (линейных интегралов движения), кинетических уравнений биохимических систем. На простых примерах гипотетических реакций показано, что представление сложной реакции/метаболической сети в виде связанного ориентированного двудольного графа и использование его свойств позволяет выявлять вещества, связанные балансными соотношениями, и сформулировать графовые критерии их существования. Показано, что графовыми образами балансных соотношений в графе открытой биохимической системы являются подграфы в виде либо простых и/или сложных циклов, либо в виде совокупности простых и/или сложных циклов и соединяющих их мостов.

**Ключевые слова:** графы, стехиометрический анализ, балансные соотношения

В первой части работы было показано, что представление сети биохимических реакций в виде связанного ориентированного двудольного графа и использование его свойств позволяет визуализировать компоненты реакций, связанные балансными соотношениями (законы сохранения количества вещества, линейные интегралы движения). Были сформулированы графические правила нахождения всех линейных интегралов движения, кинетических уравнений сложных реакций/метаболических сетей. Цель настоящей работы – показать на примере стехиометрического анализа простейших гипотетических реакций особенности графической процедуры выявления балансных соотношений биохимических систем.

Известно, что система  $n$ -го порядка обыкновенных дифференциальных уравнений (кинетические уравнения), описывающих динамику биохимической системы, состоящей из  $n$  компонентов и  $m$  реакций, имеет  $L$  независимых линейных интегралов движения вида

$$\phi_{i1} \cdot x_1 + \dots + \phi_{in} \cdot x_n = C_i \quad (i = 1, \dots, L). \quad (1)$$

Здесь  $\phi_{ij}$  - искомые коэффициенты,  $x_i$  – концентрация  $X_i$  – го компонента системы,  $L$  – число независимых линейных интегралов, равное числу линейно независимых строк стехиометрической матрицы  $\mathbf{S}^T(n \times m)$  (столбцов  $\mathbf{S}(m \times n)$ ) биохимической системы. Из линейной алгебры известно, что  $L$  равно

$$L = n - \text{rg}(\mathbf{S}), \quad (2)$$

где  $\text{rg}(\mathbf{S})$  – ранг стехиометрической матрицы, равный числу линейно независимых реакций/компонент биохимической системы. Коэффициенты  $\phi_{ij}$  линейных интегралов (1) будем находить, решая однородное уравнение

$$\mathbf{S} \cdot \Phi_i = 0 \quad (i = 1, \dots, L), \quad (3)$$

\* [ermakov-gennady@rambler.ru](mailto:ermakov-gennady@rambler.ru)

где  $\Phi_i (n \times 1)$  – вектор-столбец искомым коэффициентов  $\phi_{ij}$  уравнения (1).

В качестве примеров, поясняющих графические правила нахождения линейных интегралов движения кинетических уравнений биохимических систем, рассмотрим восемь (I-VIII) гипотетических реакций. Реакции «сконструированы» таким образом, чтобы проиллюстрировать все возможные случаи графического анализа схем/графа реакций, при этом стехиометрический анализ с использованием линейной алгебры был максимально прост и нагляден.

### 1. Реакция I

Рассмотрим открытую каталитическую реакцию



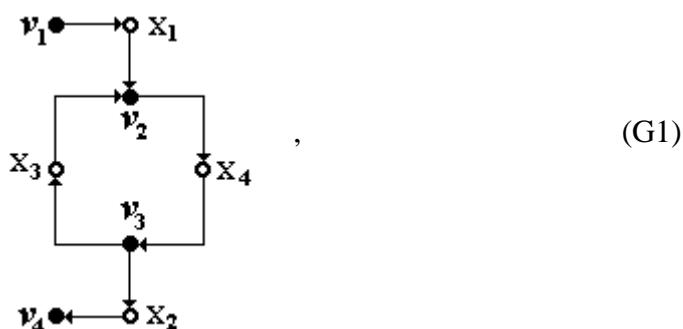
где S, P и E, соответственно, субстрат, продукт и фермент. Очевидно, что реакция (I) имеет единственное балансное соотношение

$$[E] + [ES] = \text{const.} \quad (4)$$

Здесь и далее, для большей наглядности при нахождении балансных соотношений, будем вначале использовать аппарат линейной алгебры (уравнения (1-3)), а затем процедуру анализа графа реакции с использованием графических правил. Обозначая S, P, E и ES, соответственно,  $X_1, X_2, X_3,$  и  $X_4$ , запишем для реакции (I) кинетическое уравнение в матричной форме

$$\frac{d}{dt} \begin{bmatrix} x_1 \\ x_2 \\ x_3 \\ x_4 \end{bmatrix} = \begin{bmatrix} 1 & -1 & 0 & 0 \\ 0 & 0 & 1 & -1 \\ 0 & -1 & 1 & 0 \\ 0 & 1 & -1 & 0 \end{bmatrix} \times \begin{bmatrix} v_1 \\ v_2 \\ v_3 \\ v_4 \end{bmatrix} \quad (5)$$

и двудольный граф



эквивалентный выбранному механизму реакции (I) и стехиометрической матрице  $S^T$  кинетического уравнения (5).

Ранг матрицы  $S^T$  уравнения (5) равен трем. Следовательно, согласно уравнению (2), кинетическое уравнение (5) имеет единственный линейный интеграл движения (балансное соотношение). Анализ стехиометрической матрицы показывает, что в качестве независимых базисных строк можно выбрать первые три. В этом случае четвертую линейно зависимую строку можно представить в виде линейной комбинации базисных строк с соответствующими коэффициентами

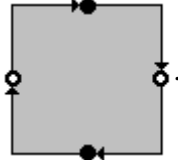
$$X_4 = 0 \cdot X_1 + 0 \cdot X_2 - X_3, \quad (6)$$

где  $X_i$  обозначает  $i$ -ю строку матрицы  $S^T$  уравнения (5). Уравнение (6) эквивалентно уравнению

$$\dot{x}_3 + \dot{x}_4 = 0, \quad (7)$$

т.е. искомому балансному соотношению (4).

Рассмотрим графическую процедуру нахождения балансного соотношения (4) с использованием двудольного графа (G1) реакции (I). Анализируя граф (G1), можно убедиться, что единственным подграфом, к которому применимо *правило 1* (см. первую часть работы) и не требуется применять графическую процедуру *правила 2*, является подграф в виде простого цикла

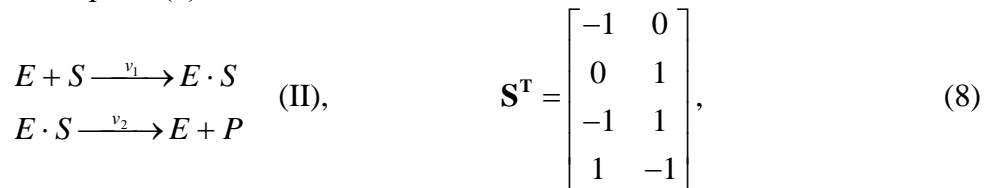


(G1.1)

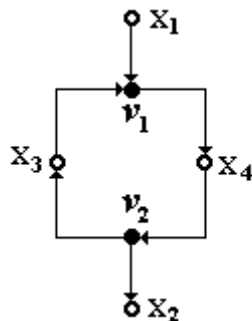
Действительно, выполнено необходимое и достаточное условие (*правило 1*) эквивалентности выделенного подграфа балансному соотношению (4): вершины-скорости подграфа (G1.1) имеют равные полустепени входящих и выходящих полупутей, принадлежащих выделенному подграфу; вершины-вещества подграфа не имеют инцидентных полупутей, не принадлежащих данному подграфу (G1.1). Согласно *правилу 1*, мы не можем включить в подграф (G1.1) вершины  $X_1$  и  $X_2$ , поскольку эти вершины-вещества инцидентны полупутям, которые соответствуют скоростям  $v_1$  и  $v_4$ . В то же время, согласно *правилу 1*, можно игнорировать два полупути, инцидентных вершинам  $v_2$  и  $v_3$ , чтобы выделить необходимый подграф. Таким образом, кинетическое уравнение (5) имеет единственный линейный интеграл движения, которому отвечает простой цикл по вершинам-веществам ( $X_3, X_4$ ) и который является графическим выражением (графовым образом) закона сохранения количества катализатора (4) в реакции (I). Далее везде подграфы в виде простых циклов будем выделять серым цветом.

## 2. Реакция II

Рассмотрим реакцию (II) – закрытый случай реакции (I). Реакции (II) соответствует стехиометрическая матрица (8)



и двудольный граф



(G2)

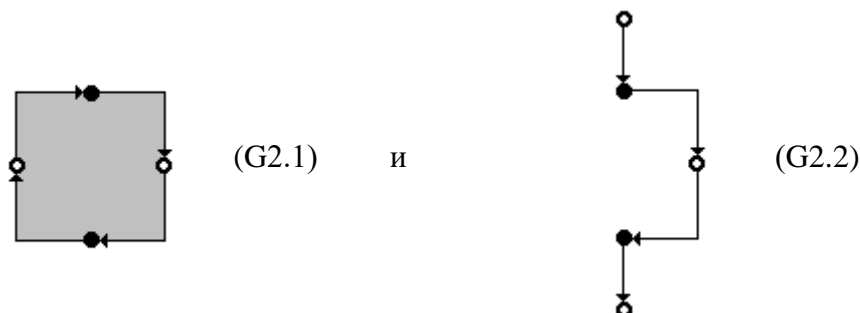
Ранг матрицы (8) равен двум, следовательно, данная реакция имеет два балансных соотношения, причем их вид зависит от того, какие (кроме второй и третьей) две строки матрицы  $S^T$  выбрать в качестве базисных. Выбирая в качестве базисных третью и четвертую строки, получим два независимых закона сохранения вещества

$$[E] + [ES] = \text{const}, \quad (9)$$

$$[S] + [ES] + [P] = \text{const}. \quad (10)$$

Первое балансное соотношение является законом сохранения количества катализатора в реакции (II), второе – законом сохранения количества исходного реагента.

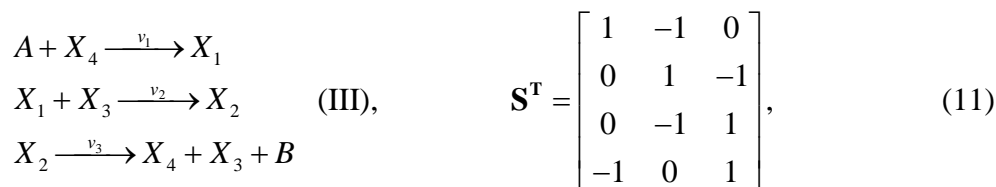
Графический анализ графа (G2), показывает, что граф реакции (II) содержит два подграфа,



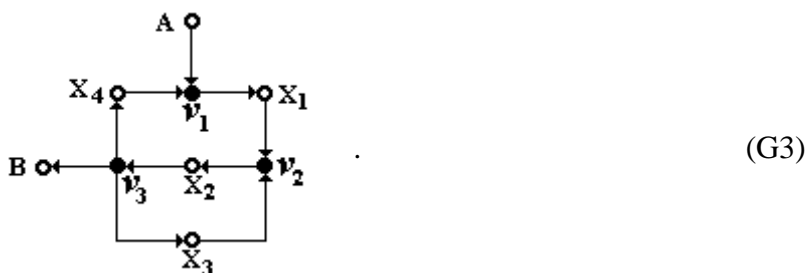
которые удовлетворяют графическому правилу 1. Первый подграф (G2.1), как и в случае реакции (I), является простым циклом по вершинам-веществам ( $X_3, X_4$ ) и соответствует баланвному соотношению (9). Второй подграф (G2.2) является совокупностью положительных путей, объединяющих вещества  $X_1, X_2, X_4$ , и соответствует баланвному соотношению (10).

### 3. Реакция III

Рассмотрим реакцию (III). Здесь и далее будем считать, что А, С и В – резервуары с веществом, в которых поддерживается постоянная концентрация реагентов (А, С) и продуктов (В). Реакции (III) соответствует стехиометрическая матрица (11)



и граф

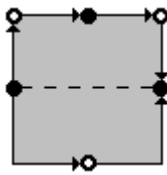


Ранг стехиометрической матрицы (11) равен двум. Линейно зависимыми являются последние две строки. Таким образом, реакция (III) имеет два независимых балансных соотношения

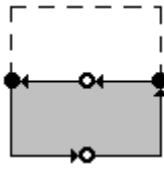
$$X_2 + X_3 = C_1, \quad (12)$$

$$X_1 + X_2 + X_4 = C_2. \quad (13)$$

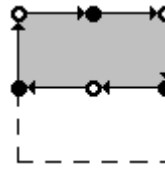
Графический анализ графа (G3) показывает, что граф реакции содержит четыре подграфа в виде циклов



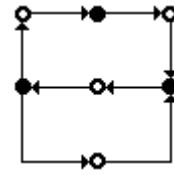
(G3.1)



(G3.2)



(G3.3)



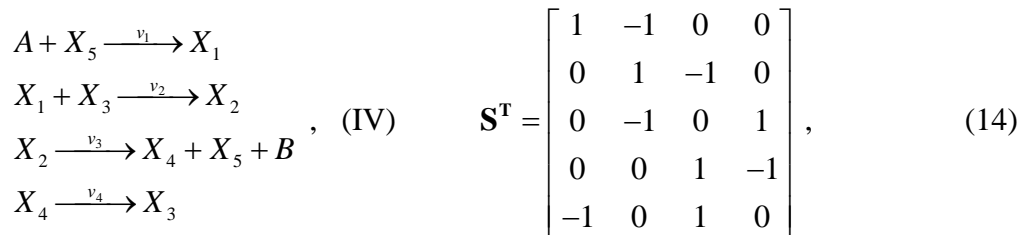
(G3.4)

Подграфы (G3.1)–(G3.3) – простые циклы, а подграф (G3.4) – совокупность трех простых циклов. Структуры подобной топологии, при условии, что каждый полупуть подграфа принадлежит какому-нибудь простому циклу, принято называть циклически замкнутыми графами/подграфами. Далее для простоты будем называть любые циклические структуры, отличные от простого цикла, сложными циклами.

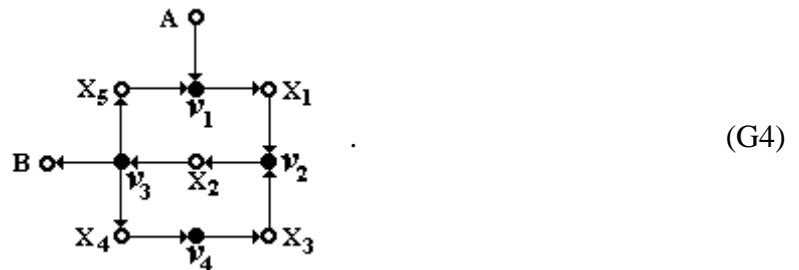
Из четырех подграфов (G3.1)–(G3.4) *правило 1* соответствуют два простых цикла – (G3.2) и (G3.3), которые являются графическими выражениями, соответственно, балансных соотношений (12) и (13). Подграфы (G3.1) и (G3.4) с использованием графической процедуры *правила 2* могут быть приведены к надлежащему виду, но соответствующее им балансное соотношение является в первом случае суммой двух независимых уравнений (12) и (13), а во втором – разностью.

#### 4. Реакция IV

Рассмотрим реакцию (IV), которой соответствует стехиометрическая матрица (14)



и граф



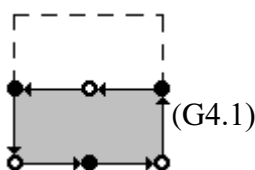
(G4)

Ранг матрицы (14) равен трем, линейно зависимыми являются последние две строки. Реакция (IV) имеет два независимых балансных соотношения

$$X_2 + X_3 + X_4 = C_1, \quad (15)$$

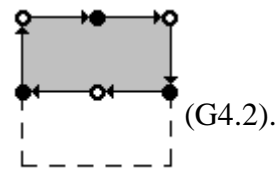
$$X_1 + X_2 + X_5 = C_2. \quad (16)$$

Граф (G4), как и в случае реакции (III), содержит четыре аналогичных подграфа в виде циклов. Графическим выражением балансных соотношений (15) и (16) являются, соответственно, два подграфа



(G4.1)

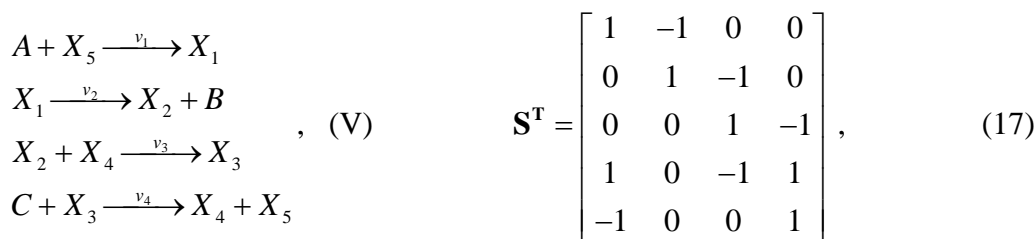
и



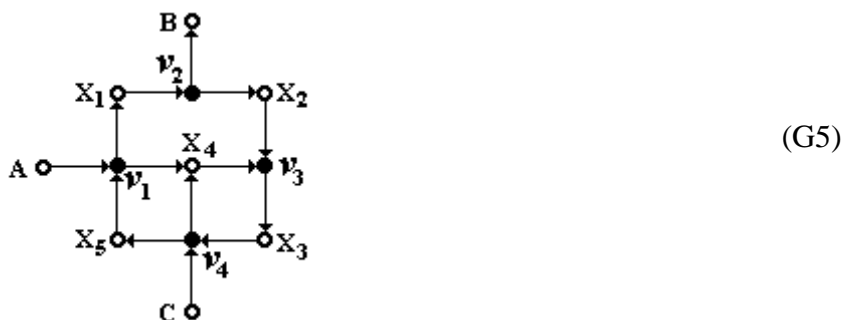
(G4.2).

### 5. Реакция V

Рассмотрим реакцию (V), которой соответствует стехиометрическая матрица (17)



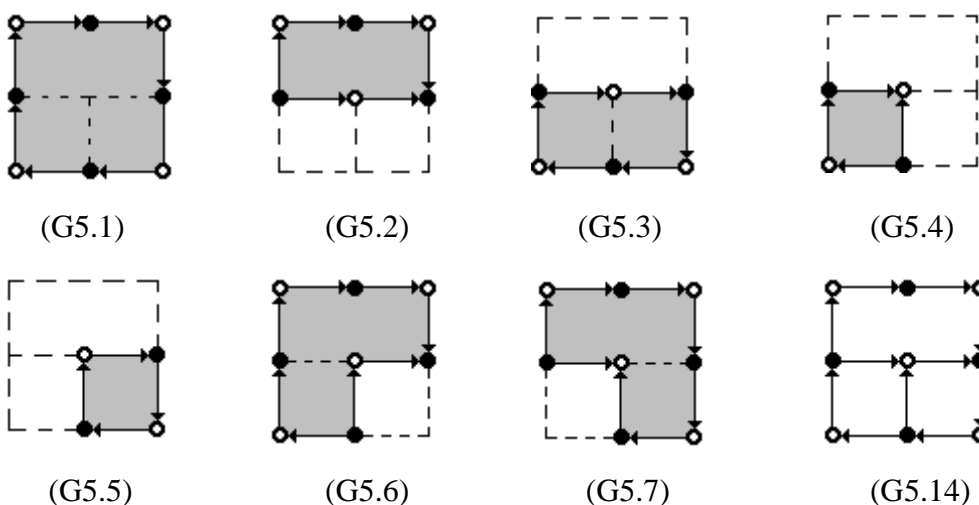
и граф



Ранг матрицы (17) равен четырем. Линейно зависимой является последняя строка. Единственное балансное соотношение реакции (V) имеет вид

$$X_1 + X_2 + X_3 + X_5 = C . \quad (18)$$

Граф (G5) содержит четырнадцать подграфов в виде циклов, семь простых (G5.1)–(G5.7) и семь сложных (G5.8)–(G5.14)



Сложные циклы являются не совпадающими комбинациями простых циклов. Представлены все простые (G5.1)–(G5.7) циклы и один сложный (G5.14), который включает в себя все возможные комбинации простых циклов. Из всех подграфов только один – подграф (G5.1) – соответствует *правилу 1* и является графическим выражением балансного соотношения (18). Остальные подграфы не могут быть приведены к надлежащему виду графической процедурой *правила 2* и должны быть исключены из рассмотрения.

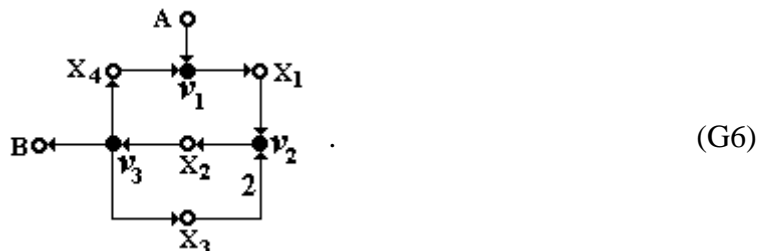
Далее рассмотрим стехиометрический анализ реакций, детальный механизм которых содержит стадию со стехиометрическим коэффициентом больше единицы.

## 6. Реакция VI

Проанализируем реакцию (VI), которая по составу и числу стадий аналогична рассмотренной выше реакции (III), но имеет в стадии  $v_2$  субстратный стехиометрический коэффициент, равный двум. Реакции (VI) соответствует стехиометрическая матрица (19)



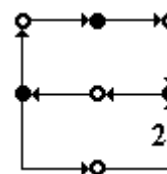
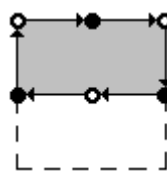
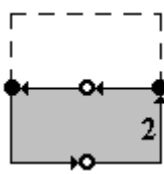
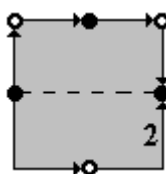
и граф



Матрица (19) имеет ранг, равный трем. Последняя строка является линейной комбинацией первых трех. Единственное балансное соотношение имеет вид

$$X_1 + X_2 + X_4 = C. \quad (20)$$

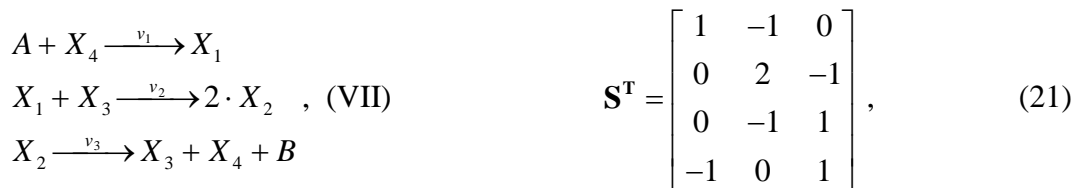
Граф (G6) в виде циклов содержит четыре подграфа



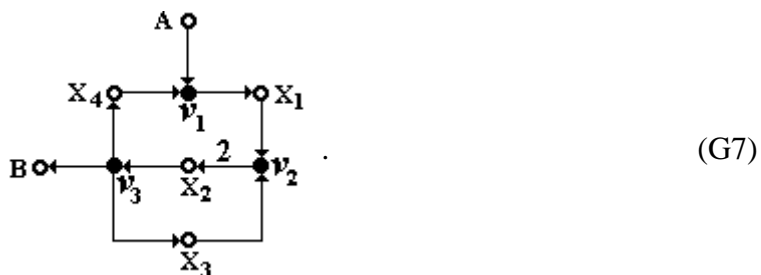
Из представленных четырех подграфов только один – подграф (G6.3) – соответствует *правилу 1* и является графическим выражением балансного соотношения (20). Остальные подграфы (G6.1), (G6.2) и (G6.4) невозможно привести графической процедурой *правила 2* к надлежащему виду, и поэтому они должны быть исключены из рассмотрения. Сравнивая результаты графического анализа реакций (VI) и (III), важно отметить, что появление в одной из стадий стехиометрического коэффициента больше единицы привело к уменьшению числа балансных соотношений. Этот результат совсем не очевиден исходно и требует анализа стехиометрической матрицы реакции с использованием аппарата линейной алгебры. В то же время применение графического анализа схем/графа реакции позволяет использовать простые критерии отсутствия определенного вида балансных соотношений. Легко доказать, что, если веса всех, кроме одного, полупутей простого цикла равны  $k$ , а вес одного и только одного полупути больше  $k$ , то такой простой цикл невозможно привести к надлежащему виду с использованием *правила 2*, и он должен быть исключен из рассмотрения. В графе (G3) реакции (III) подграф (G3.2) являлся одним из двух графовых образов двух балансных соотношений. В случае графа (G6) механизма реакции (VI), согласно очевидному, изложенному выше критерию, подграф (G6.2) должен быть исключен из рассмотрения.

### 7. Реакция VII

Рассмотрим реакцию (VII), механизм которой отличается от механизма реакции (VI) положением стехиометрического коэффициента, равного двум, в стадии  $v_2$ . Реакции (VII) соответствует стехиометрическая матрица (21)



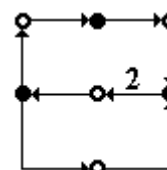
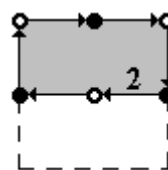
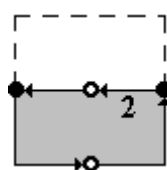
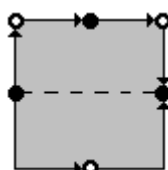
и граф



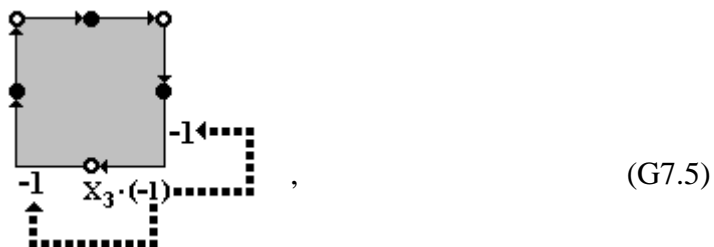
Матрица (21) имеет ранг, равный трем. Последняя строка является линейной комбинацией первых трех. Единственное балансное соотношение имеет вид

$$X_1 - X_3 + X_4 = C. \quad (22)$$

Граф (G7) в виде циклов содержит четыре подграфа



Все выделенные подграфы не соответствуют необходимому и достаточному условию *правила 1*. Но если подграфы (G7.2)–(G7.4) никаким образом не могут быть приведены к надлежащему виду, то применение графической процедуры *правила 2* к подграфу (G7.1) позволит трансформировать его таким образом, чтобы для всех типов вершин подграфа (G7.1) выполнялись необходимые и достаточные условия *правила 1*. Приписываем вершине  $X_3$  подграфа (G7.1) весовой коэффициент  $\phi = -1$ . Согласно *правилу 2* графическое «умножение» вершины-вещества на число приводит, с учетом знака, к умножению весов всех инцидентных данной вершине-веществу полупутей подграфа. Применив указанную процедуру к подграфу (G7.1), получим подграф

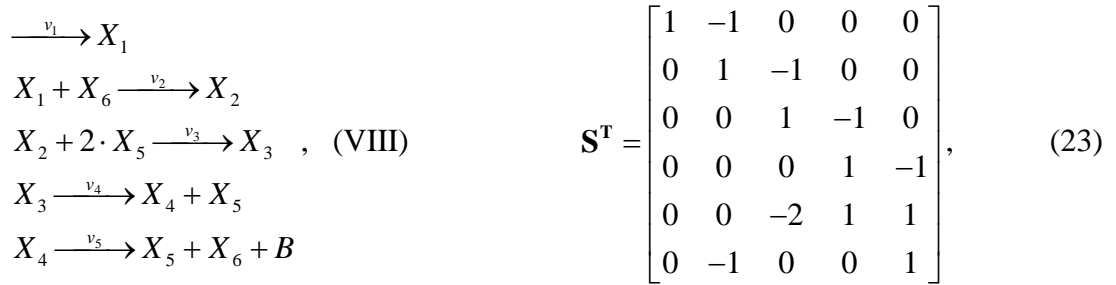


который является графовым образом балансного соотношения (22).



## 8. Реакция VIII

Рассмотрим реакцию (VIII), стехиометрический анализ которой был проведен в работе [1]. С использованием аппарата линейной алгебры было найдено [1], что ранг стехиометрической матрицы (23) реакции (VIII)

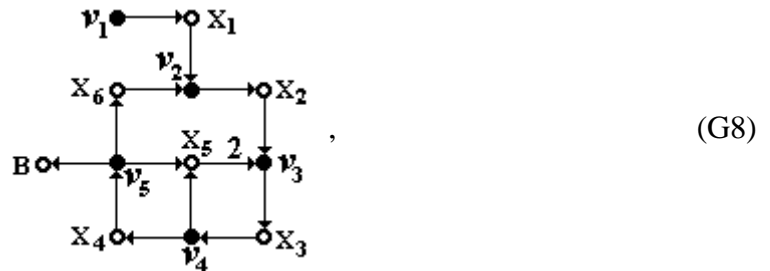


равен четырем. Линейно зависимыми являются последние две строки. Было найдено [1] два балансных соотношения

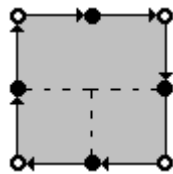
$$X_2 + X_3 + X_4 + X_6 = C_1, \quad (24)$$

$$2X_3 + X_4 + X_5 = C_2. \quad (25)$$

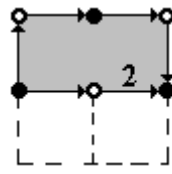
Реакции (VIII) и стехиометрической матрице (23) эквивалентен граф



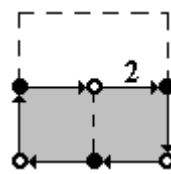
который содержит в виде циклов четырнадцать подграфов – семь простых (G8.1)–(G8.7) и семь сложных (G8.8)–(G8.14)



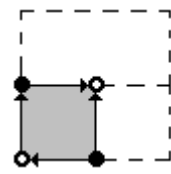
(G8.1)



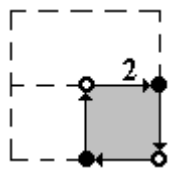
(G8.2)



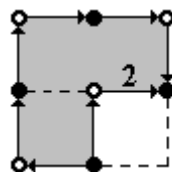
(G8.3)



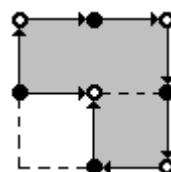
(G8.4)



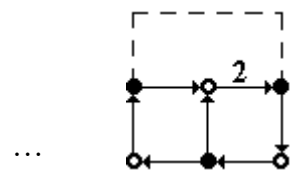
(G8.5)



(G8.6)

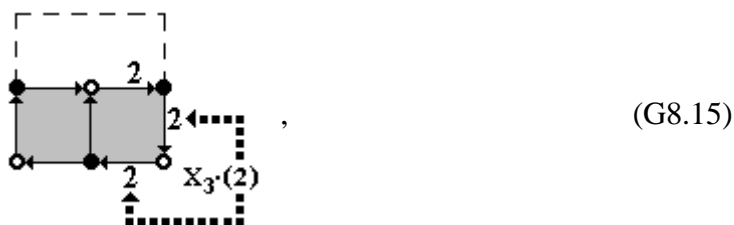


(G8.7)



(G8.14)

Представлены все простые циклы (G8.1)–(G8.7) и один сложный (G8.14), который является комбинацией двух простых циклов. Графический анализ показывает, что в представленной форме *правила 1* соответствует подграф (G8.1) в виде простого цикла, который эквивалентен баланвному соотношению (24), а подграф (G8.14) с помощью графической процедуры *правила 2* может быть приведен к надлежащему виду. Приписав вершине  $X_3$  подграфа (G8.14) весовой коэффициент  $\phi = 2$ , согласно *правила 2* получим подграф

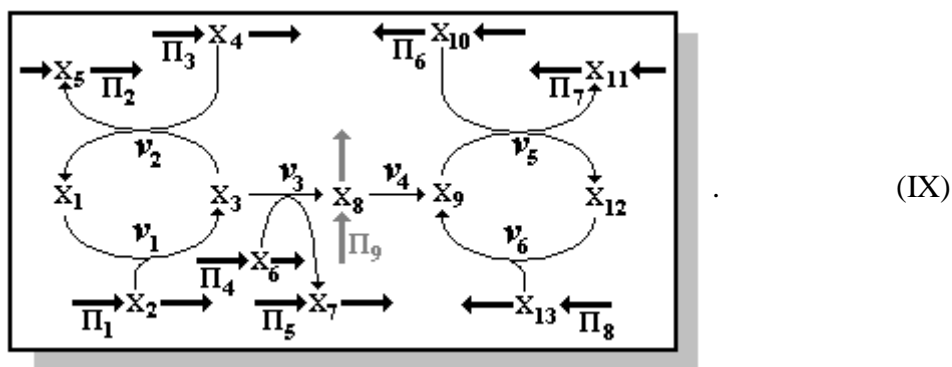


(G8.15)

который является графовым образом балансного соотношения (25). Остальные подграфы графа (G8) должны быть исключены из рассмотрения.

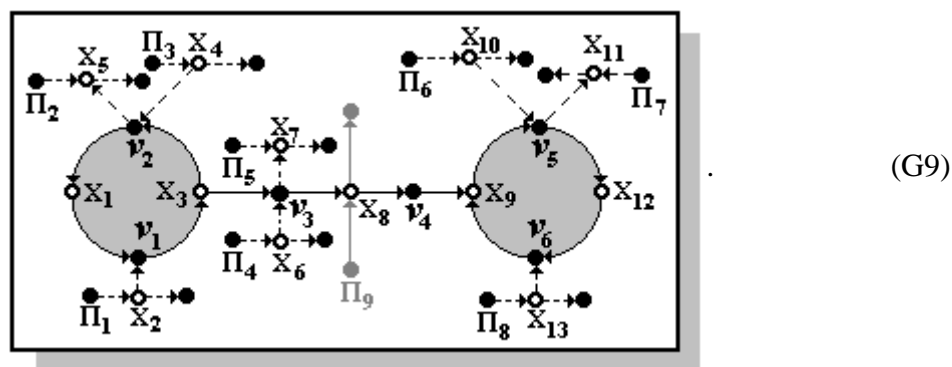
### 9. Метаболические пути

Рассмотрим сеть восьми метаболических путей  $\Pi_1, \dots, \Pi_8$  (жирные стрелки схемы (IX)), для которых известно, что часть метаболитов  $X_1, \dots, X_{13}$  участвуют в общих реакциях  $v_1, \dots, v_6$  (тонкие стрелки схемы (IX))



(IX)

Отметим, что  $v_1, \dots, v_6$  можно рассматривать и как прямые реакции обратимых стадий, и как направление потока вещества в сети – результат графического анализа от этого не изменится. Метаболической сети (IX) взаимно однозначно соответствует граф (G9), на котором для наглядности часть полупутьей показаны пунктирными линиями



(G9)

Можно видеть, что вещества  $X_1, X_3, X_8, X_9$  и  $X_{12}$ , связанные на графе (G9) сплошными линиями, образуют подграф, состоящий из двух простых циклов и соединяющего их моста. Выделенный подграф согласно *правилу 1* является графовым образом балансного соотношения

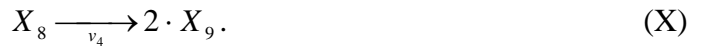
$$X_1 + X_3 + X_8 + X_9 + X_{12} = 0, \quad (26)$$

связывающего часть компонентов метаболической сети, представленной в форме схемы (IX).

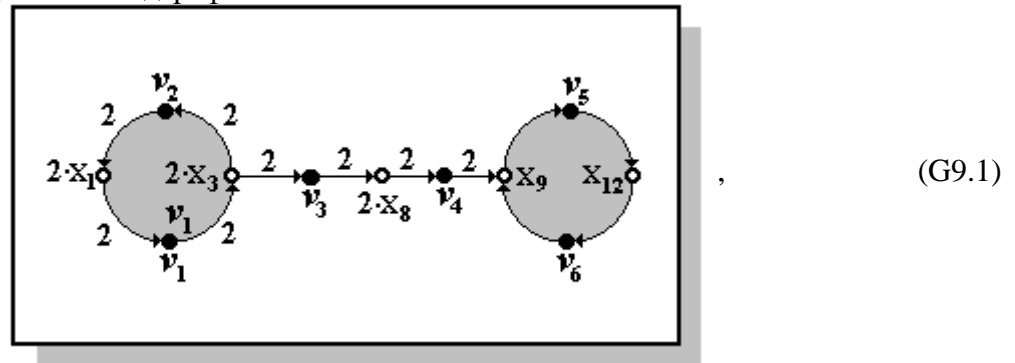
Предположим, что в рассмотрение включен путь  $\Pi_9$ , изображенный на схеме (IX) и графе (G9) серым цветом. В этом случае вершина-вещество  $X_8$  согласно *правилу 1* должна быть исключена из выделенного подграфа графа (G9), и подграф распадается на два независимых простых цикла. Оба цикла не удовлетворяют необходимым и

достаточным условиям *правила 1* и исключаются из рассмотрения. Таким образом, сеть путей, связанных между собой в виде схемы (IX), с учетом потока  $\Pi_9$ , не имеет ни одного балансного соотношения.

Пусть в метаболической сети (IX) в реакции/потоке  $v_4$  происходит автокаталитическое удвоение продукта, т.е. реакция имеет вид



В этом случае, с учетом нового продуктного стехиометрического коэффициента, строится граф, по топологии аналогичный показанному выше графу (G9), и с учетом *правил 1, 2* выделяется подграф



который является графовым образом балансного соотношения

$$2X_1 + 2X_3 + 2X_8 + X_9 + X_{12} = 0, \quad (27)$$

связывающего часть компонент рассмотренной метаболической сети.

Как уже отмечалось в первой части работы, знание линейных интегралов движения кинетических уравнений метаболической сети позволяет не только сократить размерность модели, но, главное, выявлять скрытые связи между отдельными участками сети и разрабатывать стратегию воздействия или управления сетью с терапевтическими целями. В частности, в работе [2] был проведен стехиометрический анализ гликолиза *Trypanosoma brucei*. Авторы [2] приняли упрощенную схему гликолиза, без учета компарментализации части гликолитических реакций в гликозомах. Построив для выбранной сети реакций стехиометрическую матрицу  $S^T$  размерностью (12×9) и используя метод исключения Гаусса, авторы [2] привели матрицу  $S^T$  к надлежащему виду, который позволил найти три балансных соотношения

$$\text{НАД}^+ + \text{НАДФ} = \text{Const} \quad (28)$$

$$\text{АТФ} + \text{АДФ} + \text{АМФ} = \text{Const} \quad (29)$$

$$\begin{aligned} &\text{Глюкоза-6-Ф} + 2\text{Фруктуза-1,6-Ф}_2 + \text{Дигидроацетон-Ф} + \text{Глицеральдегид-3-Ф} + \\ &+ \text{Глицерат-1,3-Ф}_2 + \text{Глицерол-3-Ф} + 2\text{АТФ} + \text{АДФ} = \text{Const}. \end{aligned} \quad (30)$$

Отметим, что первые два соотношения (28) и (29) достаточно очевидны, в то время как соотношение (30) не может быть получено умозрительно и требует применения математического аппарата линейной алгебры. Мы не будем здесь приводить подробного графического анализа выбранной авторами [2] метаболической сети и останавливаться на значении балансного соотношения (30) в воздействии на метаболизм *Trypanosoma brucei*. Отметим лишь, что, построив по выбранной сети реакций соответствующий ей двудольный граф, достаточно просто выделить подграфы, которые являются графическими эквивалентами балансных соотношений (28-30).

Таким образом, стехиометрический анализ метаболических систем с использованием двудольных графов позволяет, во-первых, наглядно и быстро визуализировать вещества, связанные балансными соотношениями, а во-вторых, формулировать критерии их существования. Можно строго доказать (и из приведенных выше примеров (I – IX) видно), что для открытых биохимических систем графовыми

образами балансных соотношений в графе сложной реакции являются либо простые и/или сложные циклы (циклически замкнутые подграфы), либо совокупность простых и/или сложных циклов, соединенных мостами из положительных путей.

Работа выполнена при финансовой поддержке РФФИ (грант 06-04-49230) и РФФИ-регионы (грант 04-04-97294).

### СПИСОК ЛИТЕРАТУРЫ

1. Reder C. *J. Theor. Biol.* 1988. **135**. 175–201.
2. Cornish-Bowden A., Hofmeyr J.-H. S. *J. Theor. Biol.* 2002. **216**. 179–191.

Материал поступил в редакцию 14.03.2007, опубликован 24.04.2007